



دانشگاه صنعتی اصفهان

گزارش پروژه مکانیک کوانتومی (۱)

شبیه‌سازی تحول بسته‌ی موج گوسی در طول زمان

استاد: مهدی عبدی

نگارنده: زینب صادقیان

شماره دانشجویی: ۹۵۲۹۳۶۳

## فهرست مطالب

.....	مقدمه	۱.
.....	.....FDTD	۲.
.....	.....Gaussian_wave_packet	۳.
.....	حل معادله شرودینگر برای بسته موج گوسی	۴.
.....	ذره آزاد	۴,۱
.....	سد پتانسیل	۴,۲
.....	پتانسیل پله	۴,۳
.....	منابع	۵.

هدف این گزارش بررسی تحولات بسته‌ی موج<sup>۱</sup> در طول زمان در یک بعد با استفاده از معادله شرودینگر<sup>۲</sup> وابسته به زمان یک-بعدي است. فرم کلی معادله شرودینگر وابسته به زمان در سه بعد به صورت زیر می‌باشد:

$$i\hbar \frac{\partial}{\partial t} \Psi(\vec{r}, t) = H \Psi(\vec{r}, t)$$

که در آن  $H$  عملگر هامیلتونی است که انرژی کل به ازای هر تابع موج داده شده را مشخص می‌کند،  $\Psi(\vec{r}, t)$  حالت سیستم کوانتومی،  $i$  واحد موهومی،  $\hbar$  ثابت کاهیده پلانک و  $t$  زمان می‌باشد. این معادله تحول سیستم در طول زمان را توصیف می‌کند و پاسخ آن معادله موج وابسته به زمان است. مشهورترین شکل این معادله، معادله‌ی شرودینگر غیر نسبیتی برای حالتی از سیستم است که با تابع موج  $(\Psi(\vec{r}, t))$  توصیف می‌شود و در پتانسیل  $(U(\vec{r}, t))$  قرار گرفته است. در این حالت هامیلتونی به شکل زیر توصیف می‌شود:

$$H = -\frac{\hbar^2}{2m} \left( \frac{\partial^2}{\partial x^2} + \frac{\partial^2}{\partial y^2} + \frac{\partial^2}{\partial z^2} \right) + U(\vec{r}, t) = -\frac{\hbar^2}{2m} \nabla^2 + U(\vec{r}, t)$$

## ۱.۲. معادله

برای حل این معادله می‌توان آن را به یک معادله‌ی ویژه‌ی مقدار<sup>۳</sup> که معادله شرودینگر مستقل از زمان نام دارد، کاهش داد:

$$H \psi(\vec{r}) = E \psi(\vec{r})$$

در این معادله  $E$  انرژی کل سیستم را مشخص می‌کند. با حل این معادله  $(\psi(r))$  به دست می‌آید و می‌توان تحول زمانی و تغییرات آن را با زمان را به صورت روبه‌رو نوشت:  $\Psi(\vec{r}, t) = \psi(\vec{r}) e^{-i\frac{Et}{\hbar}}$ .

در نهایت می‌توان معادله شرودینگر وابسته به زمان برای یک ذره در یک بعد را به صورت زیر نوشت:

$$i\hbar \frac{\partial \Psi(x, t)}{\partial t} = -\frac{\hbar^2}{2m} \frac{\partial^2 \Psi(x, t)}{\partial x^2} + U(x, t) \Psi(x, t)$$

در شبیه‌سازی انجام شده معادله شرودینگر وابسته به زمان به استفاده از الگوریتمی به نام FDTD که به صورت مفصل در بخش (۲) بررسی شده است به صورت عددی حل می‌گردد. به طور خلاصه این الگوریتم تقریبی برای مشتق سالی نسبت به زمان و تقریبی برای مشتق دوم سالی نسبت به مکان که هر دو برای حل معادله شرودینگر ضروری‌اند به دست می‌آورد و این معادله را حل می‌کند.

<sup>۱</sup> wave packet

<sup>۲</sup> Schrodinger equation

<sup>۳</sup> Eigenvalue equation

در ادامه‌ی این گزارش ابتدا روش FDTD معرفی می‌گردد، سپس بسته موج با توزیع گوسی<sup>۱</sup> توصیف و بررسی می‌شود، سپس حل معادله‌ی شرودینگر برای یک سای کلی که در پتانسیل‌های ساده ای قرار گرفته است و خروجی و نتایج آن بررسی می‌شود، در نهایت بسته‌ی موج گوسی قرار گرفته در این پتانسیل‌ها و خروجی معادله شرودینگر برای آن بررسی و نتایج و علل شبیه سازی مشاهده می‌گردد.

---

<sup>۱</sup> Gaussian

## ۲. Finite-difference time-domain (FDTD)

الگوریتم FDTD به علت سادگی و قابل فهم بودن، ابزار بسیار محبوبی برای شبیه سازی است. کار اصلی که این الگوریتم انجام می دهد آن است که معادلاتی که در آن مشتقاتی وجود دارد ورودی می گیرد و تمام مشتقات آن را با دیفرانسیل های متناهی تقریب می زند. سپس سیستم با گام های زمانی کوچک پیش می رود و پاسخ معادله در طول زمان مشخص می گردد. در حقیقت هر سیستم فیزیکی که با معادله دیفرانسیل قسمی<sup>۱</sup> (PDE) وابسته به زمان توصیف می گردد می تواند با FDTD شبیه سازی گردد. معادله موج را می توان ترکیبی از دو بخش حقیقی و موهومی دانست لذا خواهیم داشت:

$$\Psi(x,t) = \Psi_R(x,t) + i\Psi_I(x,t)$$

با قرار دادن این تابع موج در معادله شرودینگر به شکل بیان شده در بالا دو معادله به شکل زیر خواهیم داشت:

$$\frac{\partial \Psi_R(x,t)}{\partial t} = -\frac{\hbar}{2m} \frac{\partial^2 \Psi_I(x,t)}{\partial x^2} + \frac{1}{\hbar} U(x,t) \Psi_I(x,t)$$

$$\frac{\partial \Psi_I(x,t)}{\partial t} = \frac{\hbar}{2m} \frac{\partial^2 \Psi_R(x,t)}{\partial x^2} - \frac{1}{\hbar} U(x,t) \Psi_R(x,t)$$

اولین قدم برای اعمال این الگوریتم تعریف یک شبکه<sup>۲</sup> است، این شبکه مجموعه ای از نقاط گسسته در زمان و مکان می باشد که توابع ما را نمونه برداری می کند. اگر نقطه ای زمانی با فاصله ای زمانی  $\Delta t$  و هر نقطه ای مکانی با فاصله ای مکانی  $\Delta x$  جدا شده باشند آن گاه نقاط شبکه به صورت زیر تعریف می شوند:

$$\begin{aligned} x_\ell &= \ell \Delta x \\ t_n &= n \Delta t \end{aligned}$$

که  $0 \leq n \leq N$  و  $0 \leq \ell \leq L$ . در این شبکه تابع موج را می توان به صورت روبه رو در شبکه نمونه برداری کنند:

$$\psi(x_\ell, t_n) = \psi^n(\ell)$$

حال باید مشتقات را با استفاده از دیفرانسیل متناهی تخمین زد. برای سادگی قسمت موهومی تابع به گونه ای تعریف شده است که در فاصله ای نیم گامی از قسمت حقیقی باشد. این کار کمک می کند که بتوان از روش دیفرانسیل مرکزی<sup>۳</sup> که روش دقیق تری نسبت به روش پیش رو<sup>۴</sup> و بازگشت<sup>۵</sup> است، استفاده کرد. تقریبات مذکور به صورت زیر هستند:

$$\frac{\partial \psi_R(x_\ell, t_{n+1/2})}{\partial t} \approx \frac{\psi_R^{n+1}(\ell) - \psi_R^n(\ell)}{\Delta t}$$

برای قسمت حقیقی:

<sup>۱</sup> Partial differential equation

<sup>۲</sup> mesh

<sup>۳</sup> Central-difference

<sup>۴</sup> forward

<sup>۵</sup> backward

$$\frac{\partial \psi_I(x_\ell, t_n)}{\partial t} \approx \frac{\psi_I^{n+1/2}(\ell) - \psi_I^{n-1/2}(\ell)}{\Delta t}.$$

برای قسمت موهومی:

$$\frac{\partial^2 \psi_R(x_\ell, t_n)}{\partial x^2} \approx \frac{\psi_R^n(\ell+1) - 2\psi_R^n(\ell) + \psi_R^n(\ell-1)}{\Delta x^2}$$

و برای مشتقات درجه دوم: معادله تقریبی مشتق درجه دوم.

در نهایت با قرار دادن تمامی این مقادیر تعریف شده در معادله شرودینگر و با در نظر داشتن اینکه برای قسمت حقیقی گام زمانی حول

( $t = (n + 1/2)\Delta t$ ) و برای قسمت حقیقی گام زمانی حول ( $t = n\Delta t$ ) می باشد، به معادلات زیر خواهیم رسید:

$$\psi_I^{n+1/2}(\ell) = +c_1 [\psi_R^n(\ell+1) - 2\psi_R^n(\ell) + \psi_R^n(\ell-1)] - c_2 V(\ell) \psi_R^n(\ell) + \psi_I^{n-1/2}(\ell)$$

$$\psi_R^{n+1}(\ell) = -c_1 [\psi_I^{n+1/2}(\ell+1) - 2\psi_I^{n+1/2}(\ell) + \psi_I^{n+1/2}(\ell-1)] + c_2 V(\ell) \psi_I^{n+1/2}(\ell) + \psi_R^n(\ell)$$

در روابط بالا  $V(\ell)$  همان تابع پتانسیل است و ضرایب هر کدام  $c_2 = \frac{\Delta t}{\hbar}$  و  $c_1 = \frac{\hbar \Delta t}{2m\Delta x^2}$  می باشند. لازم به ذکر است که مشتق درجه دوم تابع موج در نقاط مرزی طبق معادله تقریبی مشتق درجه دوم تعریف نمی شود، کار ساده این است که تابع موج در این نقاط را صفر در نظر بگیریم. این کار باعث مشکلاتی از قبیل بازتاب در نقاط مرزی می شود، در نتیجه شبیه سازی باید قبل از رسید تابع موج به این نقاط پایان پذیرد. این الگوریتم بر گام های زمانی نیمه پیش می رود و معادله قسمت موهومی حل می شود، سپس معادله قسمت حقیقی حل می شود. با رسیدن  $n$  به  $N$  الگوریتم پایان می پذیرد و خروجی نهایی شبیه سازی پیشرفت زمانی تابع موج در دامنه زمانی و مکانی گسسته است. از آنجایی که برای پتانسیل های ساده پاشخ معادله شرودینگر تابع موجی است از قسمت های سینوسی و کسینوسی تشکیل شده است و همان طور که می دانیم توابع سینوس کسینوسی حداکثر ۱ و حداقل ۱- هستند، کمان این توابع تابعی از  $\Delta x$  و  $\Delta t$  هستند. پس محدودیتی برای  $\Delta t$  بر حسب  $\Delta x$  و  $V_0$  و  $\hbar$  به دست می آید. در حقیقت به منظور داشتن یک شبیه سازی پایدار برای اختلاف زمانی یک حداکثری وجود داشت خواهد داشت:

$$\Delta t \leq \frac{\hbar}{\frac{\hbar^2}{m\Delta x^2} + \frac{V_0}{2}}$$

در نهایت شایان ذکر است زبان برنامه نویسی انتخاب شده برای پیاده سازی این الگوریتم پایتون و این شبیه سازی با بهره گیری از کتابخانه های پایتون برای ساخت انیمیشن و محاسبات مختلف استفاده گردیده است.

### Gaussian wave packet.۳

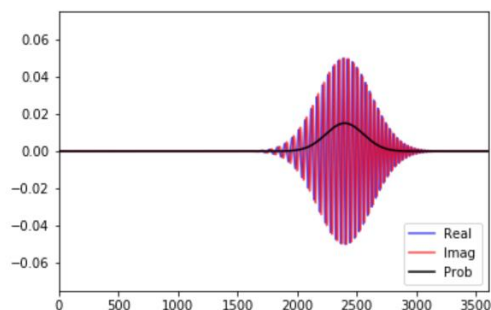
در فیزیک، یک بسته موج (یا قطار موج) یک "پاکت" کوتاه از عمل موج موضعی است که به عنوان واحد حرکت می‌کند. با در نظر گرفتن مدل تک بعدی یک ذره آزاد ( $V(x) = 0$ ) که تابع موج آن در لحظه ۰ به صورت زیر است:

$$\psi(x, 0) = \frac{\sqrt{a}}{(2\pi)^{3/4}} \int_{-\infty}^{+\infty} e^{-\frac{a^2}{4}(k-k_0)^2} e^{ikx} dk$$

این تابع موج از برهم نهی موج‌های ساده  $e^{ikx}$  با ضرایب مشخص زیر می‌شود:

$$\frac{1}{\sqrt{2\pi}} g(k, 0) = \frac{\sqrt{a}}{(2\pi)^{3/4}} e^{-\frac{a^2}{4}(k-k_0)^2}$$

همانطور که مشاهده می‌شود این ضرایب فرم تابع گوسی با مرکزیت  $k_0$  دارند (با یک ضریب عددی به منظور نرمال سازی تابع موج). به همین علت این نوع بسته موجی، بسته موج گوسی نامیده می‌شود.



با انجام کمی محاسبات و با قرار دادن  $p_0/\hbar$  به جای  $k_0$ ،  $2\sigma^2$  به جای  $a^2$ ، می‌توان تابع موج در لحظه صفر را به صورت زیر نوشت:

$$\psi(x; 0) = \frac{A}{\sqrt{\sigma}} e^{-x^2/2\sigma^2} e^{i(p_0/\hbar)x}$$

$$A = \frac{1}{\sqrt[4]{\pi}}.$$

برای این تابع موج می‌توان عدم قطعیت که از رابطه‌ی زیر به دست می‌آید را محاسبه نمود:

$$(\Delta x)^2 = \langle \hat{x}^2 \rangle - \langle \hat{x} \rangle^2$$

$$\langle \hat{x} \rangle = \int_{-\infty}^{+\infty} x |\psi(x; 0)|^2 dx = \frac{A^2}{\sigma} \int_{-\infty}^{+\infty} x e^{-x^2/\sigma^2} dx = 0$$

$$\langle \hat{x}^2 \rangle = \int_{-\infty}^{+\infty} x^2 |\psi(x; 0)|^2 dx = A^2 \sigma^2 \frac{\sqrt{\pi}}{2} = \frac{1}{\sqrt{\pi}} \sigma^2 \frac{\sqrt{\pi}}{2} = \frac{\sigma^2}{2}.$$

در نتیجه:

$$(\Delta x)^2 = \langle \hat{x}^2 \rangle - \langle \hat{x} \rangle^2 = \langle \hat{x}^2 \rangle,$$

و نهایتاً:

$$\Delta x = \sigma / \sqrt{2}.$$

$\Delta x$  در اینجا میزان پهن شدگی بسته موج را مشخص می‌کند.

۴. حل معادله‌ی شرودینگر برای بسته موج گوسی در پتانسیل‌های مختلف

در این بخش معادله‌ی شرودینگر در پتانسیل‌های ساده برای تابع موج دلخواه حل می‌شود و پاسخ آن از لحاظ تئوری مورد بحث قرار می‌گیرد سپس تابع موج را برابر بسته موج گوسی قرار داده می‌شود و شبیه سازی انجام شده برای آن را نشان داده می‌شود. سپس برای هر شکل از شبیه سازی علل رفتار بسته موج بررسی می‌گردد.

۴. ۱ ذره‌ی آزاد

برای یک ذره که در راستای محور  $x$  تحت عنوان ذره آزاد حرکت می‌کند با انرژی کل  $E$  و پتانسیل صفر،  $U(x) = 0$ ، معادله وابسته به زمان شرودینگر برای این ذره به صورت زیر خواهد بود:

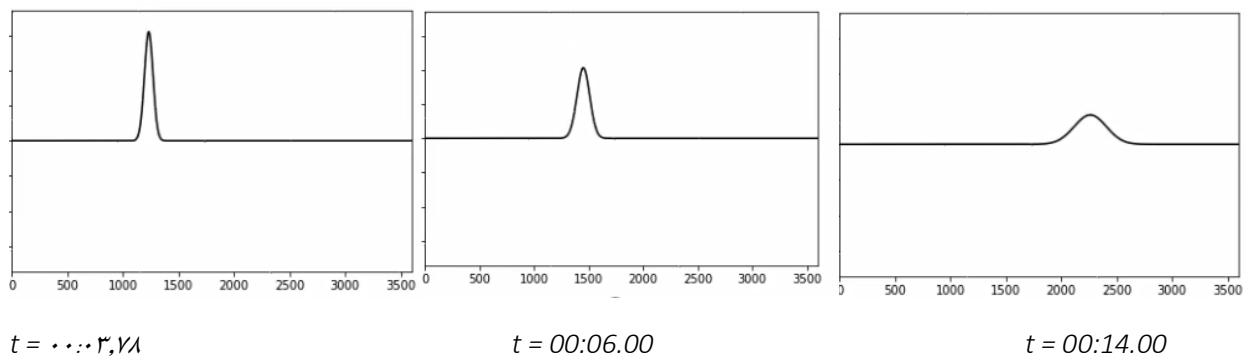
$$i\hbar \frac{\partial}{\partial t} \Psi(x, t) = -\frac{\hbar^2}{2m} \frac{\partial^2}{\partial x^2} \Psi(x, t)$$

پاسخ کلی این معادله به صورت  $\Psi(x, t) = \psi(x) e^{-i\frac{Et}{\hbar}} = A e^{\pm i\frac{\sqrt{2mE}}{\hbar}x} e^{-i\frac{Et}{\hbar}}$  خواهد بود.  $\psi(x) = A e^{\pm i\frac{\sqrt{2mE}}{\hbar}x}$

$E$  انرژی کل، انرژی جنبشی  $K = \frac{1}{2}mv^2 = E$ ، سرعت ذره  $v_{particle} = \sqrt{\frac{2E}{m}}$ ، تکانه  $p = mv = \hbar k = \sqrt{2mE}$ ، عدد موج

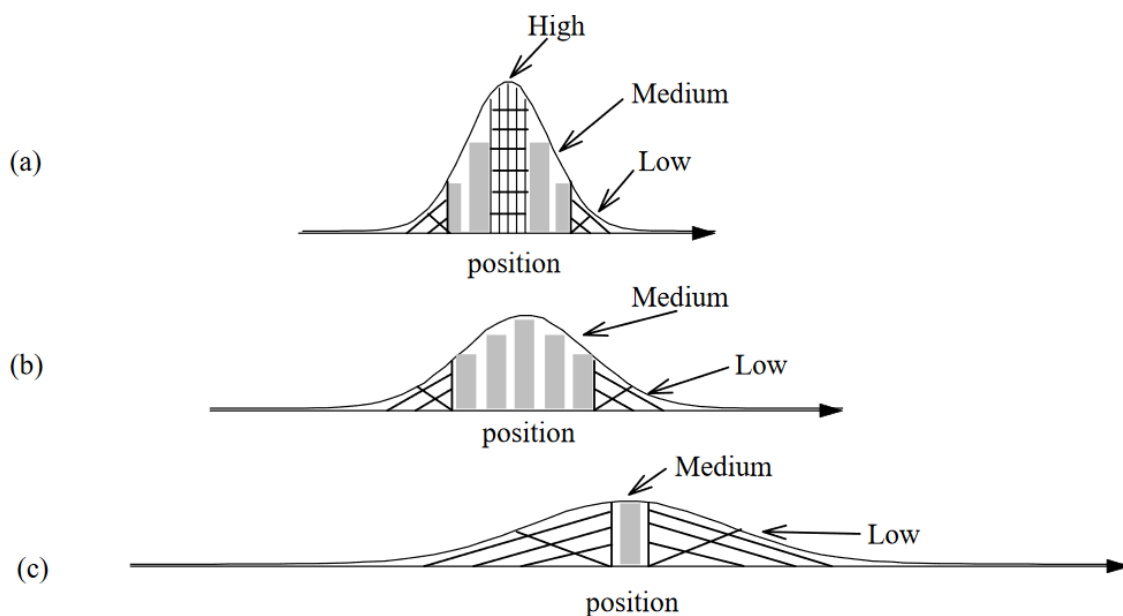
$k = \frac{\sqrt{2mE}}{\hbar}$  و طول موج  $\lambda = \frac{2\pi}{k} = \frac{h}{p} = \frac{h}{\sqrt{2mE}}$  است. این پاسخ را می‌توان به صورت موج‌های تخت  $\Psi(x, t) = A e^{i(\pm kx - \omega t)}$

که در آن علامت مثبت برای  $k$  نشان‌دهنده حرکت ذره به سمت راست و جهت مثبت محور  $x$  و علامت منفی آن نشان‌دهنده حرکت ذره در جهت منفی محور  $x$  است. در شکل زیر نتیجه شبیه‌سازی را برای یک بسته موج گوسی مشاهده می‌کنیم:





همانطور که مشاهده می‌شود بسته موج در طول زمان گسترده تر می‌شود و احتمال حضور آن رنج بیشتری را در بر می‌گیرد. تابع موج گوسی از تعدادی تابع موج با طول موج‌های متفاوتی تشکیل شده است. طبق رابطه‌ای که برای طول موج نوشته شد مشاهده شد که طول موج با تکانه ارتباط دارد. این تابع موج اطلاعاتی از هم مکان و هم تکانه را در بر دارد و برای هر کدام عدم قطعیتی خواهد داشت. می‌توان گفت در ابتدای شروع شبیه‌سازی تابع موجی داریم که مشخص می‌کند ذره در کدام نقاط می‌تواند باشد از طرفی ذره در هر نقطه‌ای که قرار داشته باشد رنجی از تکانه را می‌تواند داشته باشد و دقیق مشخص نیست که با چه سرعتی حرکت می‌کند (عدم قطعیت در تکانه). برای دانستن مکان دقیق یک ذره باید مکان اولیه و سرعت حرکت آن کاملاً مشخص باشد. حال آنکه برای یک نقطه تکانه‌های متفاوت می‌تواند وجود داشته باشد پس ذره در لحظه بعد می‌تواند در رنج مکانی مختلفی باشد. تابع موج خود دلتا ایکسی دارد که مشخص می‌کند در لحظه شروع ذره می‌تواند در رنج مختلفی از مکان حضور داشته باشد و نقاط مختلفی را مشخص می‌کند که در زمان‌های بعد ه کدام از این نقاط رنج مختلفی را ایجاد می‌کنند. این مانند این است که تابع موج و دلتا ایکس بیشتر شود. در حقیقت عدم قطعیت در مکان با گذشت زمان بیشتر می‌شود و می‌توان گفت ذره با گذر زمان در هر نقطه‌ای با احتمال مساوی می‌تواند یافت شود. نشان خواهیم داد که اگر در لحظه شروع دلتا ایکس کمتری داشته باشد به این معنا که دقیق‌تر بدانیم کجا قرار دارد سریع‌تر از هم باز می‌شود و تغییرات دلتا ایکس آن بیشتر خواهد بود. در حقیقت می‌توان گفت که هرچه بیشتر در زمان شروع از مکان ذره اطلاعات داشته باشیم، کمتر ذره را در زمان‌های بعد می‌شناسیم و از آن اطلاعات داریم.



هر چه زمان بگذرد مکان‌هایی که احتمال بیشتری برای حضور ذره در آن‌ها وجود داشت احتمال کمتری پیدا می‌کنند و مکان‌هایی با احتمال متوسط یا کمتر بزرگ‌تر می‌شوند.

اگر تابع موج ذره آزاد را در زمان ۰ به صورت:

$$\Psi(x, 0) = \left(\frac{2a}{\pi}\right)^{1/4} e^{-ax^2}$$

در نظر بگیریم، آنگاه طبق محاسباتی که انجام داده می‌شو برای حل معادله ویژه مقداری (پیدا کردن پاسخ معادله، بسط سای بر اساس پاشخ های آن و محاسبه تحول زمانی آن) می‌توان گفت همان عملیات تبدیل فوریه انجام شده است. لذا می‌توان تابع موج را به صورت زیر نوشت:

$$\Psi(x, 0) = \int_{-\infty}^{\infty} \frac{dk}{\sqrt{2\pi}} \Phi(k, 0) e^{ikx}$$

با ضرایب:

$$\begin{aligned} \phi(k) \equiv \Phi(k, 0) &= \int_{-\infty}^{\infty} \frac{dx}{\sqrt{2\pi}} \Psi(x, 0) e^{-ikx} \\ &= \frac{1}{\sqrt{2\pi}} \left( \frac{2a}{\pi} \right)^{1/4} \int_{-\infty}^{\infty} dx e^{-ikx} e^{-ax^2} = \left( \frac{1}{2\pi a} \right)^{1/4} e^{-\frac{k^2}{4a}} \end{aligned}$$

که نشان می دهد تابع موج گوسی مکانی *superposition* ای از تکانه های مختلف است با احتمال پیدا کردن تکانه بین  $k$  و  $k + dk$  به اندازه  $exp(-k^2/(4a))dk$ . تابع ابتدایی نیز از تعدادی موج تخت با ضرایب مختلف تشکیل شده بود. از آن جایی که برای هر  $k$  حقیقی  $exp(ikx)$  مقدار ویژه هامیلتون با ویژه مقدار زیر است:

$$E_k = \frac{\hbar^2 k^2}{2m}$$

پس  $exp(ikx)$  با  $exp(-iE_k t/\hbar)$  تغییر می کند. پس می توان نوشت:

$$\begin{aligned} \Psi(x, t) &= \int_{-\infty}^{\infty} \frac{dk}{\sqrt{2\pi}} \phi(k) e^{ikx} e^{-iE_k t/\hbar} \\ &= \left( \frac{1}{2\pi a} \right)^{1/4} \int_{-\infty}^{\infty} \frac{dk}{\sqrt{2\pi}} e^{-\frac{k^2}{4a}} e^{-iE_k t/\hbar} e^{ikx} \end{aligned}$$

با در نظر گرفتن:

$$-\frac{k^2}{4a} \left[ 1 + \frac{2i\hbar a t}{m} \right] = -\frac{bk^2}{2}$$

در حالی که

$$b = \frac{1}{2a} \left( 1 + \frac{2i\hbar a t}{m} \right)$$

تابع موج به صورت زیر نوشته می شود:

$$\begin{aligned} \Psi(x, t) &= \left( \frac{1}{2\pi a} \right)^{1/4} \sqrt{\frac{1}{b}} e^{-\frac{x^2}{2b}} \\ &= \left( \frac{2a}{\pi} \right)^{1/4} \frac{1}{\sqrt{1 + \frac{2i\hbar a t}{m}}} \exp\left[ -\frac{ax^2}{(1 + \frac{2i\hbar a t}{m})} \right] \end{aligned}$$

. تابع احتمال به صورت:

$$|\Psi(x, t)|^2 = \sqrt{\frac{2a}{\pi}} \frac{1}{\sqrt{1 + \left(\frac{2\hbar at}{m}\right)^2}} e^{-\frac{2ax^2}{1 + \left(\frac{2\hbar at}{m}\right)^2}}$$

با محاسبه مقدار چشم داشتی برای  $x^2$  خواهیم داشت که:

$$\langle x^2 \rangle = \frac{1}{4a} \left[ 1 + \left( \frac{2\hbar at}{m} \right)^2 \right]$$

از آنجایی که مقدار چشم داشتی مکان صفر است می توان گفت که مقدار اولیه پهن شدگی تابع موج برابر  $a/4$  می باشد.

با در نظر گرفتن:

$$\sigma_0^2 = 1/(4a)$$

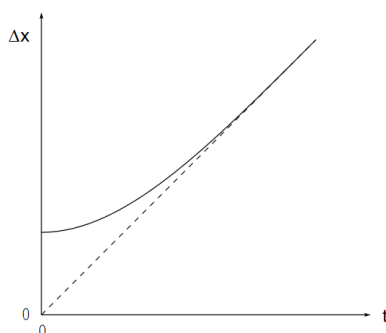
می توان تغییرات مقدار چشم داشتی برای  $x^2$  با زمان را به صورت زیر نوشت:

$$\langle x^2 \rangle_t \equiv \sigma_x^2(t) = \sigma_0^2 + \frac{\hbar^2 t^2}{4m^2 \sigma_0^2}$$

که نشان می دهد با گذشت زمان پهن شدگی تابع موج افزایش پیدا می کند به علاوه هرچه سیگمای اولیه کمتر باشد این تغییرات شدید تر و سریع تر خواهند بود. می توان گفت بسته موج مانند ذرات کلاسیکی حرکت خواهد کرد اما عدم قطعیت آن افزایش پیدا می کند، با رادیکال گرفتن از رابطه تعریف شده در بالا می توان تغییرات عدم قطعیت با زمان را به دست آورد،

$$(\Delta x)_t = \frac{\sigma}{\sqrt{2}} \sqrt{1 + \left( \frac{\hbar}{m\sigma^2} t \right)^2}.$$

که تابع آن به صورت شکل زیر خواهد بود:



تابع سد به صورت زیر تعریف می شود:

$$V(x) = V_0 \text{ for } 0 \leq x \leq L$$

$$V(x) = 0 \text{ for } x < 0 \text{ and } x > L.$$

بسته موج از سمت چپ به سد نزدیک خواهد شد، پس از حل معادله شرودینگر سه پاسخ زیر را برای قبل از  $x=0$  بین  $x$  و  $L$  و برای

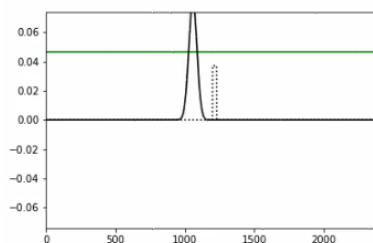
$x > L$  خواهیم داشت:

$$\Psi_I = Ae^{ik_1x} + Be^{-ik_1x}$$

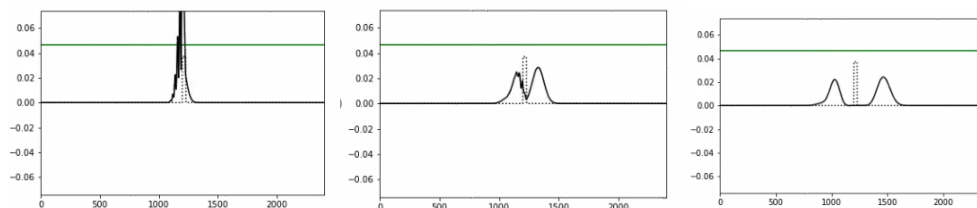
$$\Psi_{II} = Ce^{ik_2x} + De^{-ik_2x}$$

$$\Psi_{III} = Fe^{ik_1x}$$

این بدان معناست که ذره می تواند از سد عبور کند یا بازتابیده شود. در حقیقت احتمالی برای عبور از سد و احتمالی برای بازتاب ذره وجود خواهد داشت. حتی ذره پس از نفوذ در سد و در حین خروج می تواند بازتابیده شود یا عبور پیدا کند، در نهایت اگر ذره از سد عبور پیدا کند به حرکت خود به سمت راست ادامه خواهد داد. اگر انرژی ذره از پتانسیل پیش رو بیشتر باشد با دید کلاسیکی هم می توان درک کرد که ذره با احتمالی می توانسته از سد عبور کند. همانطور که شبیه سازی نیز این مشاهده را تایید می کند:



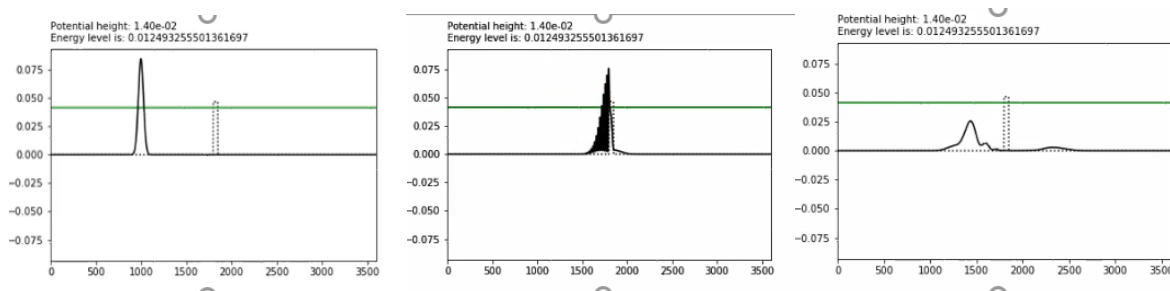
تابع موج را قبل از برخورد به سد نشان می دهد، انرژی تابع موج حدود دو برابر انرژی پتانسیل سد در نظر گرفته شده است.  $E$  با رنگ سبز نشان داده شده است که انرژی کل بسته موج است و تابع احتمال بسته موج با رنگ مشکی نشان داده شده است. در حقیقت نمودار مشکلی نمودار احتمال است.



از سمت چپ به راست به ترتیب لحظه برخورد تابع موج با سد، لحظه عبور از سد و در نهایت عبور کامل از سد را نشان می دهد.

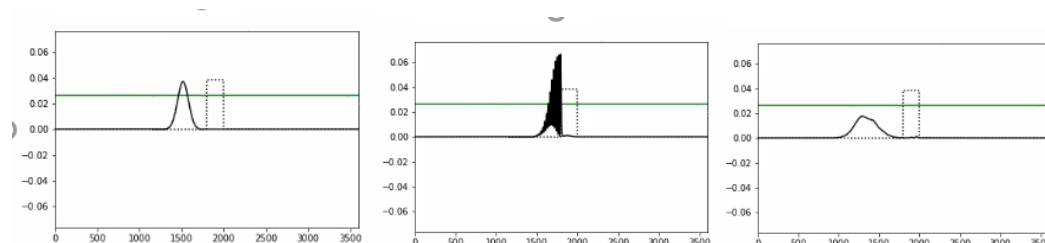
مشاهده می‌شود که در لحظه برخورد بسته موج به سد پیک‌هایی پشت سر هم ایجاد شده‌اند که علت آن‌ها این است که بسته موج هنگام برخورد با سد مقداری بازتاب می‌یابد این در حالی است که بسته موج در حال حرکت به سمت راست است و این دو در لحظه برخورد با هم برهم نمی‌خورند.

قسمتی که مکانیک کوانتومی را از کلاسیک متمایز می‌کند این است که حتی اگر انرژی بسته موج کمتر از پتانسیل باشد، مکانیک کوانتومی باز هم مقداری عبور بسته موج از سد پتانسیل را نشان می‌دهد و بسته موج به طور کامل بازتاب نمی‌یابد:

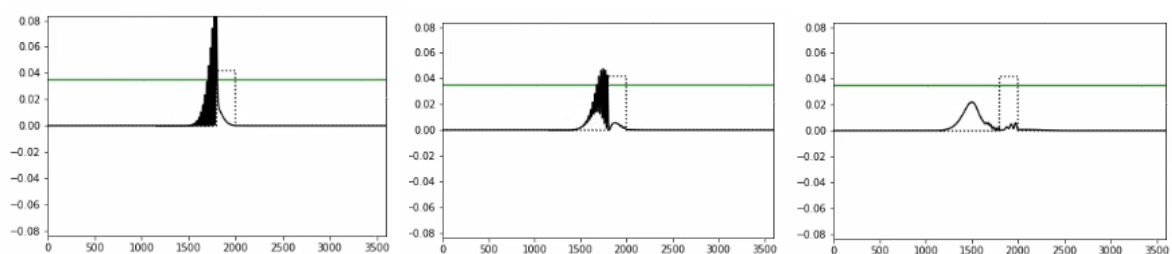


در شکل بالا انرژی بسته موج از سد پتانسیل برخوردی به آن کمتر است با این حال احتمال کمی برای حضور ذره در سمت دیگر سد وجود دارد. ( راست ترین شکل )

برای مشاهده اینکه درون سد چه حالتی اتفاق می‌افتد قطر سد در شبیه سازی بعدی بیشتر شده است.



در این شکل مشاهده می‌شود ذره پس از نفوذ به سد انرژی کامل برای عبور کامل از سد را ندارد.



در شکل بالا در نهایت بخش بسیار کوچکی از بسته موج توانسته از سد عبور کند.

۳.۴ پتانسیل پله

پتانسیل تابع پله به صورت زیر است:

$$V(x) = 0 \text{ for } x \leq 0,$$

$$V(x) = V_0 \text{ for } x > 0.$$

معادله شرودینگر برای پتانسیل پله به صورت زیر است:

$$\frac{\partial^2 \psi(x)}{\partial x^2} = -k^2 \psi(x)$$

$$U(x) = 0 \quad x < 0 \quad k^2 = k_1^2 = \frac{2mE}{\hbar^2}$$

$$U(x) = U_0 \quad x > 0 \quad k^2 = k_2^2 = \frac{2m(E - U_0)}{\hbar^2}$$

و پاسخ آن:

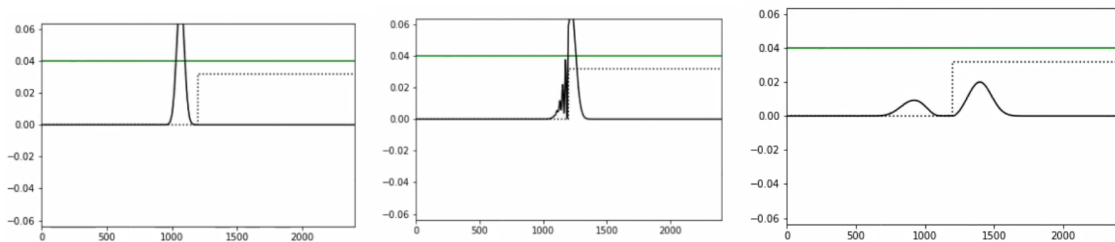
$$\Psi_1(x, t) = (A_I e^{ik_1 x} + A_R e^{-ik_1 x}) e^{-i\omega t}$$

$$\Psi_2(x, t) = (A_T e^{ik_2 x}) e^{-i\omega t}$$

در این حالت نیز اگر انرژی بسته موج از پله بیشتر باشد، احتمال حضور بسته موج در سمت پله و قبل آن وجود دارد (بخشی بازتاب و بخشی عبور میکند) که از دید کلاسیکی هم تایید میشود، نکته قابل توجه این است همانند حالت سد اگر انرژی از پتانسیل کمتر هم باشد احتمال نفوذ و عبور ذره و بسته موج باز هم وجود خواهد داشت. ممکن است اینگونه توجیه شود که چون بسته موج از موج هایی با تکانه های مختلف تشکیل شده است احتمال عبور آن موج ها وجود دارد اما لازم به ذکر است که حتی اگر تمام موج های تشکیل دهنده انرژی کمتری از پتانسیل داشته باشند هم احتمال نفوذ ذره وجود خواهد داشت. به این پدیده تونل زنی<sup>۱</sup> گفته می شود.

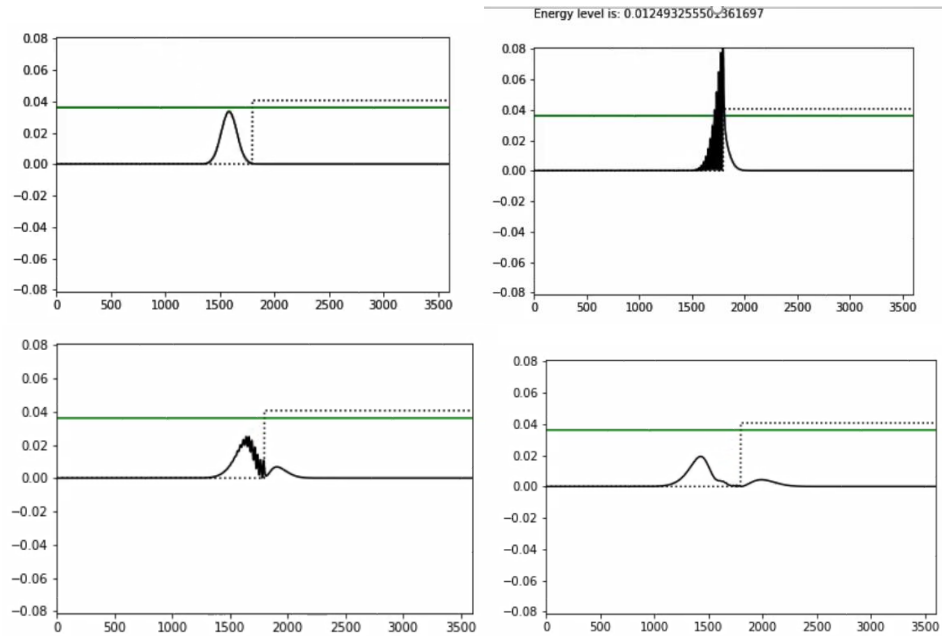
نتایج شبیه سازی:

برای حالتی که انرژی بسته موج از پتانسیل ذره بیشتر است:



<sup>۱</sup> Tunneling

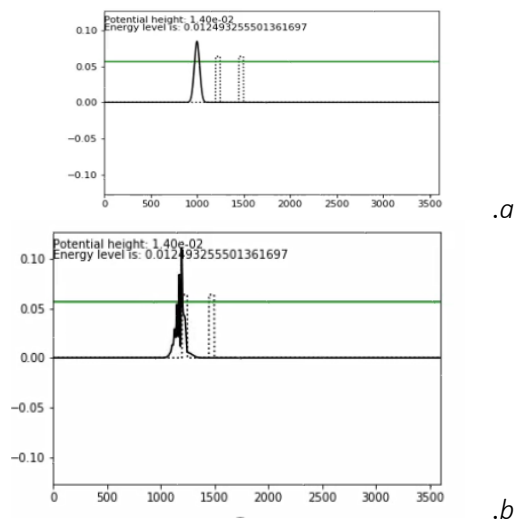
برای حالتی که انرژی بسته موج از پتانسیل کمتر است:

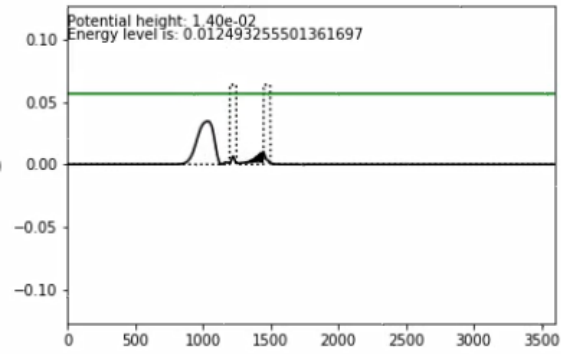


همانطور که مشاهده می شود، احتمال حضور ذره با وجود کمتر بودن انرژی آن در زیر پله وجود خواهد داشت. باید ذکر شود که به منظور مشاهده بهتر تصاویر  $|\psi|^2$  و پتانسیل ها در ضربی ضرب شده اند.

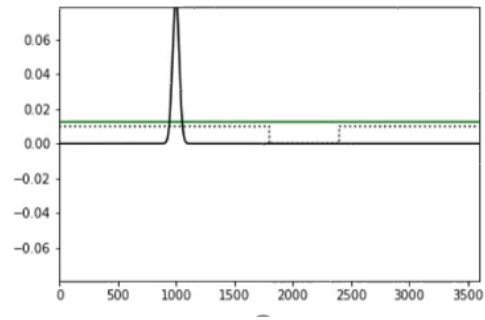
از موارد دیگری که بررسی شده اند می توان به موارد زیر اشاره کرد:

۱. وجود دو سد بر سر بسته موج

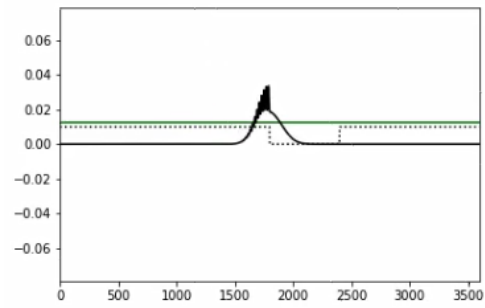




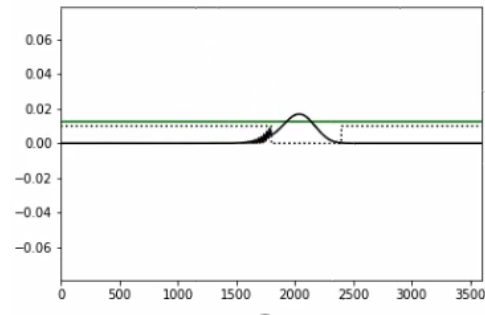
۲. چاه پتانسیل متناهی .c



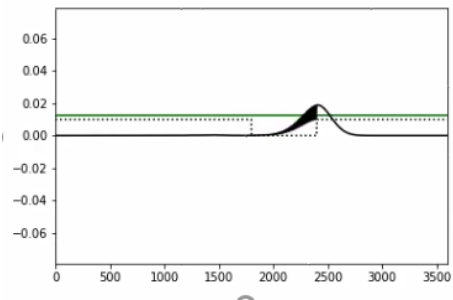
.a



.b



.c



.d



[/lectures/wave-packet/cohen-tanouji/~fai\http://www-inst.eecs.berkeley.edu/~cs](#)

[https://www.cond-mat.de/teaching/QM/JSim/wpac.html](#)

[.oberlin.edu/physics/dstyer/QM/Assignments/GaussianWavepacket.pdf\http://www](#)

[/gwp/gwp.html\..http://musr.ca/~jess/p](#)

[http://www.phys.ubbcluj.ro/~emil.vinteler/nanofotonica/FDTD/FDTD\\_Nagel.pdf](#)

[.pdf\..v\http://www.astrosen.unam.mx/~aceves/Fisica\\_Computacional/ebooks/fdtd-QM-Sudiarta](#)

[FFDTD.pdf/\Δhttps://scipy-cookbook.readthedocs.io/\\_downloads/Schrodinger](#)

[http://www.physics.usyd.edu.au/teach\\_res/mp/doc/se\\_fdtd.pdf](#)

[https://web.phys.ksu.edu/vqm/vqmnexgen/qmbasics/wavepackets.pdf](#)

[\&printable=٢٩٨.https://www.open.edu/openlearn/ocw/mod/oucontent/view.php?id=](#)

[/freegauss.pdf٩٣١\\https://www.asc.ohio-state.edu/jayaprakash.](#)

[/lecture-٢٠١٣-quantum-physics-ii-fall-٨-.Δhttps://ocw.mit.edu/courses/physics/](#)

[.pdf٠١\\_Chap\\_١٣F٠٥\\_\notes/MIT](#)

[.pdf\ Phys ٢A/LAST/LEC/Lecture ٢٠١٩A\https://physics.bgu.ac.il/COURSES/Physics](#)

[https://en.wikipedia.org/wiki/Wave\\_packet](#)

[http://abyss.uoregon.edu/~js/glossary/quantum\\_tunneling.html](#)

[|https://brilliant.org/wiki/quantum-tunneling](#)

[https://chem.libretexts.org/Bookshelves/Physical\\_and\\_Theoretical\\_Chemistry\\_Textbook\\_Maps/Suppleme](#)

[. Fundamental Concepts \ntal Modules \(Physical and Theoretical Chemistry\)/Quantum Mechanics/](#)

[of Quantum Mechanics/Tunneling](#)

[https://web.phys.ksu.edu/vqm/vqmnexgen/qmbasics/wavepackets.pdf](#)

[/:٢٥٢Spreading/:٢٥٢•Packet/:٢٥٢•Wave/:٢٥٢•.٢٧٤/adkadjadkf/PDFfiles/\http://www.phys.lsu.edu/~amarti](#)

[/:٢Quantum/:٢٥٢•to/:٢٥٢•Applications/:٢٥٢•with/:٢٥٢•Effects/:٢٥٢•Squeezing/:٢٥٢•and/:٢٥٢•Temperature•](#)

[Decoherence.pdf/:٢٥٢•and/:٢٥٢•Measurement٥٢•](#)

[American journal of physics, vol35, no. 3, march 1967, computer generated motion pictures of one-](#)

[dimensional Schrodinger's equation](#)